

AValiação NUMÉRICA DO FENôMENO DA SECAGEM CONSIDERANDO O EFEITO DO ENCOLHIMENTO

THAÍS ALVES BARBOSA¹, FRAN SÉRGIO LOBATO^{2*}, EDU BARBOSA ARRUDA³

¹Instituto Federal Goiano, ²Universidade Federal de Uberlândia, ³Universidade Federal do Triângulo Mineiro, *e-mail: fslobato@ufu.br

RESUMO - Tradicionalmente, durante a operação de secagem o efeito do encolhimento é negligenciado nos balanços de massa e energia. Tal hipótese simplifica e muito o modelo matemático, facilitando a sua avaliação numérica. Todavia, deixa de considerar o efeito do encolhimento nos perfis obtidos. Neste contexto, o presente trabalho tem por objetivo estudar o transporte de calor e de umidade durante a secagem do tomate considerando o efeito do encolhimento em um sistema transiente e unidimensional. Matematicamente, este fenômeno é descrito por duas equações diferenciais parciais acopladas (transferências de massa e calor) associadas a uma equação diferencial ordinária (para representar o encolhimento). Para resolver este sistema diferencial o mesmo é reescrito como um algébrico não linear equivalente via aplicação do Método das Diferenças Finitas. O sistema algébrico não linear resultante desta discretização é resolvido através do Método de Newton. Os resultados obtidos demonstram claramente a influência do encolhimento nos perfis de umidade e temperatura.

INTRODUÇÃO

A secagem configura-se como uma das operações unitárias mais importantes da engenharia química, visto o grande número de aplicações que podem ser desenvolvidas. É um processo muito utilizado para a conservação, transporte e armazenamento (Ishibashi et al., 2022).

Para essa finalidade, faz-se necessário a avaliação e análise de informações sobre a evolução do processo de secagem considerando a mudança dos parâmetros operacionais. Neste caso, tais informações podem ser obtidas via desenvolvimento de modelos matemáticos capazes de representar os principais mecanismos de transferência envolvidos no processo (Azhdari e Emami, 2019).

Um obstáculo prático para a modelagem da secagem em alimentos é a incorporação do efeito do encolhimento (Shahari (2012), Shaharie Hibberd, 2013). Este fenômeno ocorre devido à remoção de água durante o processo de secagem, afetando a forma e o tamanho das partículas que constituem o alimento. Na prática, isto implica que a

fronteira que define a interface do alimento varia ao longo do tempo (Adrover *et al.*, 2019). Neste caso, é muito comum que o encolhimento influencie fortemente a qualidade dos alimentos, bem como a sua aparência final (estética) e a sua evolução do processo de secagem. Assim, como o encolhimento ocorre simultaneamente com a difusão da umidade durante a secagem, este efeito pode afetar a remoção da mesma. Além disso, durante o processo de secagem deve-se considerar o efeito da tensão-deformação (Brasiello *et al.*, 2011).

Koc *et al.* (2008) estudaram os efeitos de diferentes técnicas de secagem e do conteúdo de umidade no fenômeno de encolhimento-deformação de frutas. Os autores concluíram que o encolhimento-deformação pode ser expresso pela razão entre o volume aparente dos materiais antes e após a secagem. Segura *et al.* (2014) utilizam método experimental para analisar o fenômeno de encolhimento-deformação de fatias de maçã durante a secagem. Silva *et al.* (2016) avaliam as características de secagem de peras considerando o encolhimento-deformação e a variação dos coeficientes de difusão.

Em Brasiello *et al.* (2013, 2017), Ortiz-García-Carrasco *et al.* (2015) e em López-Méndez *et al.* (2018) é introduzido um coeficiente de difusão que varia com o conteúdo de água. No entanto, em nenhum destes modelos pode-se prever a redução do volume da amostra e a deformação da superfície no tempo. Curcio e Aversa (2014) propôs um modelo em que a redução de volume é derivada da evolução do tensor de tensão evoluindo com os valores locais de água contente.

Em Adrover *et al.* (2019) é proposto um modelo com fronteira móvel para a descrição da secagem de alimentos com encolhimento, visto que durante este fenômeno a amostra reduz o volume ao longo do tempo, isto é; as dimensões da amostra mudam com o tempo. Neste caso a redução do volume da amostra e a deformação da superfície com base na evolução espaço-temporal do conteúdo de água foram determinados com a avaliação deste modelo. Segundo os autores, a principal vantagem desta abordagem é a capacidade de capturar as características essenciais do processo.

Turkan e Etemoglu (2020) estudaram a cinética de desidratação da cenoura, do pepino e da berinjela considerando diferentes modelos de secagem avaliando o efeito do encolhimento. As taxas de encolhimento volumétricas dos produtos analisados foram examinadas.

Rani e Tripathy (2020) desenvolveram um modelo tridimensional em elementos finitos para a analisar a migração de umidade durante a secagem de um anel de abacaxi em que o coeficiente de difusão é função da difusividade, bem como é considerado o efeito do encolhimento nas direções radial e longitudinal.

Diante do que foi apresentado, neste trabalho o efeito do encolhimento durante o processo de secagem do tomate é avaliado. Este trabalho está organizado como segue. Na próxima seção é apresentado o modelo matemático que representa o sistema de interesse, bem como a sua adimensionalização. Posteriormente são apresentadas a metodologia numérica e os resultados, respectivamente. Na última seção são

apresentadas as conclusões e as perspectivas de trabalhos futuros.

DESCRIÇÃO MATEMÁTICA DO PROBLEMA DE INTERESSE

Nesta contribuição considera-se uma fatia homogênea de tomate com espessura L . Durante o processo de secagem da referida fatia, o calor é transferido do ar para o centro do produto e a umidade se difunde em direção à superfície. Como resultado da remoção de água durante a secagem, a forma e o tamanho das partículas que constituem a fatia mudam constantemente, o que implica que L muda com o tempo t , isto é; $L(t)$.

Matematicamente, este fenômeno é descrito pelo seguinte sistema de equações diferenciais parciais (Azhdari e Emami, 2019):

$$\frac{\partial M}{\partial t} = D \frac{\partial^2 M}{\partial x^2} - k_1 T, \quad t > 0, \quad 0 < x < L(t) \quad (1)$$

$$\frac{\partial T}{\partial t} = \alpha \frac{\partial^2 T}{\partial x^2}, \quad t > 0, \quad 0 < x < L(t) \quad (2)$$

em que x representa a coordenada espacial, M é o conteúdo de umidade, T é a temperatura, D representa o coeficiente de difusão efetivo, α é difusividade térmica. O termo $-k_1 T$ descreve a redução de umidade dentro da fatia, sendo k_1 a taxa de remoção.

Este modelo considera as seguintes condições iniciais ($t=0$):

$$M = M_0 \quad (3)$$

$$T = T_0 \quad (4)$$

As Equações 3 e 4 implicam que o conteúdo de umidade e de temperatura do material no início do processo são iguais a M_0 e T_0 , respectivamente.

Já as condições de contorno para x iguais a 0 e $L(t)$ são descritas como:

$$\left. \frac{\partial M}{\partial x} \right|_0 = 0 \quad (5)$$

$$\left. \frac{\partial T}{\partial x} \right|_0 = 0 \quad (6)$$

$$M|_{L(t)} = 0 \quad (7)$$

$$-k \left. \frac{\partial T}{\partial x} \right|_{L(t)} + H_v D \rho \left. \frac{\partial M}{\partial x} \right|_{L(t)} = h(T|_{L(t)} - T_{air}) \quad (8)$$

em que k é a condutividade térmica, H_v é o calor de vaporização, T_{air} é a temperatura do ar, h é o coeficiente de transferência de calor e ρ é a densidade.

As Equações 5 e 6 representam as condições de simetria do problema. Já a Equação 7 diz que a umidade do material na fronteira $L(t)$ deve ser igual a 0. Por fim, a Equação 8 diz que as contribuições de condução e de evaporação devem ser iguais a contribuição convectiva na fronteira.

É importante ressaltar que o modelo acima é conhecido como problema de fronteira (ou interface) móvel, visto que durante a evolução do processo o valor de L muda com o tempo, isto é; o limite superior da coordenada espacial x muda.

Adimensionalização do Modelo Matemático

Para simplificar o modelo apresentado consideram-se os seguintes grupos adimensionais, bem como L é admitido, inicialmente, constante ($L=L_0$):

$$\tau = \frac{Dt}{L_0^2} \quad (9)$$

$$X = \frac{x}{L_0} \quad (10)$$

$$\bar{M} = \frac{M}{M_0} \quad (11)$$

$$\bar{T} = \frac{T - T_0}{T_{air} - T_0} \quad (12)$$

em que τ , X , \bar{M} e \bar{T} representam os adimensionais para o tempo, a coordenada espacial, a umidade e a temperatura, respectivamente.

Considerando os grupos adimensionais obtêm-se o seguinte modelo:

$$\frac{\partial \bar{M}}{\partial \tau} = \frac{\partial^2 \bar{M}}{\partial X^2} - k_2 \bar{T}, \quad \tau > 0, 0 < X < 1 \quad (13)$$

$$\frac{\partial \bar{T}}{\partial \tau} = Le \frac{\partial^2 \bar{T}}{\partial X^2}, \quad \tau > 0, 0 < X < 1 \quad (14)$$

$$\bar{M} = 1 \quad (15)$$

$$\bar{T} = 0 \quad (16)$$

$$\left. \frac{\partial \bar{M}}{\partial X} \right|_0 = 0 \quad (17)$$

$$\left. \frac{\partial \bar{T}}{\partial X} \right|_0 = 0 \quad (18)$$

$$\left. \bar{M} \right|_1 = 0 \quad (19)$$

$$-\left. \frac{\partial \bar{T}}{\partial X} \right|_1 + \lambda \left. \frac{\partial \bar{M}}{\partial X} \right|_1 = Bi(\bar{T}|_1 - 1) \quad (20)$$

em que:

$$Le = \frac{\alpha}{D} \quad (21)$$

$$k_2 = \frac{k_1 L_0^2 (T_{air} - T_0)}{M_0 D} \quad (22)$$

$$\lambda = \frac{H_v D M_0 \rho}{k(T_{air} - T_0)} \quad (23)$$

$$Bi = \frac{h L_0}{k} \quad (24)$$

onde Le é o número de Lewis, k_2 é a taxa de remoção em relação à difusividade e a umidade, λ é coeficiente de difusão em relação à condutividade térmica e Bi é o número Biot.

Para resolver o problema de fronteira móvel, isto é; quando L é função do tempo ($L(t)$), propõem-se uma mudança de variável, a saber, $l(\tau) = L(t)/L_0$, como sugerido por Azhdari e Emami (2019). Neste caso, o domínio das Equações 13–20 passa a ser dado pelo intervalo $[0, l(\tau)]$. Além disso, ao usar a transformação $\xi = X/l(\tau)$ a fronteira corresponde a um valor fixo, isto é; $\xi=1$ e as equações considerando o efeito do encolhimento podem ser reescritas como:

$$\frac{\partial \bar{M}}{\partial \tau} = \frac{1}{l^2} \frac{\partial^2 \bar{M}}{\partial \xi^2} + \frac{\xi}{l} \frac{dl}{d\tau} \frac{\partial \bar{M}}{\partial \xi} - k_2 \bar{T}, \quad 0 < \xi < 1 \quad (25)$$

$$\frac{\partial \bar{T}}{\partial \tau} = \frac{Le}{l^2} \frac{\partial^2 \bar{T}}{\partial \xi^2} + \frac{\xi}{l} \frac{dl}{d\tau} \frac{\partial \bar{T}}{\partial \xi}, \quad 0 < \xi < 1 \quad (26)$$

$$\bar{M} = 1 \quad (27)$$

$$\bar{T} = 0 \quad (28)$$

$$\left. \frac{\partial \bar{M}}{\partial \xi} \right|_0 = 0 \quad (29)$$

$$\left. \frac{\partial \bar{T}}{\partial \xi} \right|_0 = 0 \quad (30)$$

$$\left. \bar{M} \right|_1 = 0 \quad (31)$$

$$-\left. \frac{\partial \bar{T}}{\partial \xi} \right|_1 + \lambda \left. \frac{\partial \bar{M}}{\partial \xi} \right|_1 = lBi(\bar{T}|_1 - 1) \quad (32)$$

O modelo acima apresenta uma nova variável, a saber, a posição da fronteira l . Neste caso, faz-se necessário obter uma condição adicional para que a posição da fronteira possa ser determinada. Esta é dada

pela denominada condição de Stefan (Crank, 1984):

$$\frac{dl}{d\tau} = \frac{M_0}{l} \frac{\partial \bar{M}}{\partial \xi} \Big|_{\xi=1}, \quad l(0) = 1 \quad (33)$$

Fisicamente, tal condição representa o equilíbrio térmico na interface.

É importante ressaltar que a principal vantagem nesta mudança de variável é que o modelo pode ser integrado considerando o limite superior fixo, isto é; o mesmo é avaliado no intervalo [0 1] (problema de fronteira fixa). A variável l é utilizada para corrigir a fronteira ao longo do tempo. Finalmente, se $l(\tau)$ for constante no modelo acima (Equações 25–33), o mesmo reduz-se ao modelo sem considerar o efeito de encolhimento.

METODOLOGIA NUMÉRICA

Para resolver o modelo com o efeito de encolhimento será utilizado o Método de Diferenças Finitas. Para essa finalidade consideram-se aproximações para derivadas temporais e espaciais de primeira ordem, derivadas espaciais de segunda ordem e a aproximação da derivada da umidade com relação ao espaço proposta por Furzeland (Crank, 1984). Assim, após substituir as referidas derivadas obtêm-se o modelo discretizado:

$$\frac{\bar{M}_i^{n+1} - \bar{M}_i^n}{\Delta \tau} = \frac{1}{(l^{n+1})^2} \left(\frac{\bar{M}_{i-1}^{n+1} - 2\bar{M}_i^{n+1} + \bar{M}_{i+1}^{n+1}}{(\Delta \xi)^2} \right) + \frac{\xi_i}{l^{n+1}} \left(\frac{l^{n+1} - l^n}{\Delta \tau} \right) \left(\frac{\bar{M}_{i+1}^{n+1} - \bar{M}_{i-1}^{n+1}}{2\Delta \xi} \right) +$$

$$-k_2 \bar{T}_i^n \quad (34)$$

$$\frac{\bar{T}_i^{n+1} - \bar{T}_i^n}{\Delta \tau} = \frac{Le}{(l^{n+1})^2} \left(\frac{\bar{T}_{i-1}^{n+1} - 2\bar{T}_i^{n+1} + \bar{T}_{i+1}^{n+1}}{(\Delta \xi)^2} \right) + \frac{\xi_i}{l^{n+1}} \left(\frac{l^{n+1} - l^n}{\Delta \tau} \right) \left(\frac{\bar{T}_{i+1}^{n+1} - \bar{T}_{i-1}^{n+1}}{2\Delta \xi} \right)$$

$$\frac{l^{n+1} - l^n}{\Delta \tau} = \frac{M_0}{l^{n+1}} \left(\frac{3\bar{M}_N^n - 4\bar{M}_{N-1}^n + \bar{M}_{N-2}^n}{2\Delta \xi} \right) \quad (36)$$

em que $\Delta \tau$ e $\Delta \xi$ representam os tamanhos dos passos de integração nas direções temporal e espacial, respectivamente, e N é o número de pontos de discretização ($i=1, \dots, N-1$ e $n=0, \dots, N-1$).

É importante ressaltar que o modelo original (sistema de equações diferenciais) é reescrito como um sistema de equações algébricas não lineares via discretização. Assim, associando as condições inicial e de contorno a este sistema discretizado, o mesmo pode ser resolvido via aplicação do Método de Newton.

RESULTADOS E DISCUSSÃO

Nesta seção são apresentados os resultados obtidos considerando o modelo descrito pelas Equações 25–33 com efeito de encolhimento ($L=L(t)$) e sem efeito de encolhimento ($L=L_0$). Para essa finalidade são considerados os seguintes parâmetros termo físicos (Azhdari e Emami, 2019): $D=8 \times 10^{-10}$ m²/s, $h=30$ W/(m²°C), $\alpha=4 \times 10^{-9}$ m²/s, $M_0=0,8$ b.u., $T_0=0^\circ\text{C}$, $L_0=5 \times 10^{-3}$ m, $H_v=2345$ kJ/kg, $T_{air}=60^\circ\text{C}$, $k_1=1 \times 10^{-10}$ (b.u.)/(s °C), $k=0,475$ W/m²°C, $\rho=1250$ Kg/m³.

Para discretizar o modelo consideram-se 50 pontos em ambas as direções (temporal e espacial). Cabe ressaltar que este valor foi definido após simulações preliminares, em que verificou-se que o aumento no valor deste parâmetro não modificava, significativamente, os perfis obtidos.

A seguir são apresentadas análises no que tange os perfis de umidade e temperatura com e sem encolhimento, bem como a influência de alguns parâmetros do modelo.

Perfis de Umidade e Temperatura

Nas Figuras 1 e 2 são apresentados os perfis de umidade com e sem encolhimento. Nestas figuras observa-se, primeiramente, o atendimento das condições de contorno. Em segundo lugar, verifica-se que a umidade diminuiu com o aumento do tempo, conforme esperado fisicamente. Em relação ao modelo sem encolhimento, observa-se a fronteira fixa (ξ é fixo). Já para o modelo com efeito do encolhimento observa-se a fronteira (ou interface) móvel (ξ é variável). Do ponto de vista físico, verifica-se que este processo foi

um pouco mais lento para o modelo sem encolhimento quanto comparado com o modelo com encolhimento. Ainda na Figura 2 também é possível observar a interface, isto é; a localização da fronteira ao longo do tempo. Finalmente, verifica-se que a inserção do fenômeno de encolhimento modifica a dinâmica do processo, o que ressalta a sua importância no referido processo.

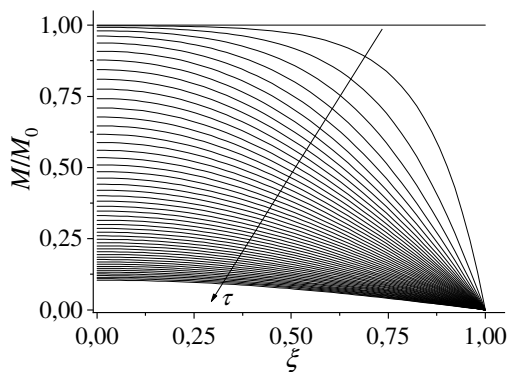


Figura 1: Perfil de umidade adimensional para o modelo sem encolhimento.

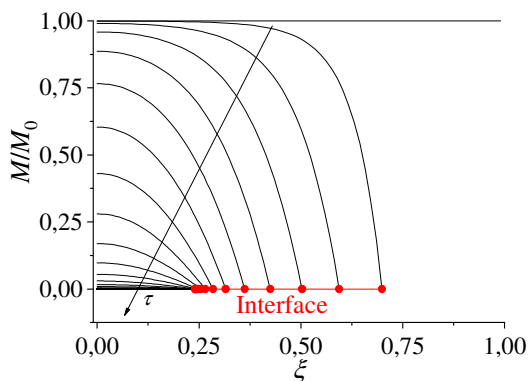


Figura 2: Perfil de umidade adimensional para o modelo com encolhimento.

Já nas Figuras 3 e 4 são apresentados os perfis de temperatura com e sem encolhimento. De forma geral, a temperatura de ambos os modelos (com e sem encolhimento) aumenta com o tempo de secagem. Devido à diferença entre a temperatura do ar e da amostra, a temperatura aumenta rapidamente no período inicial de aquecimento. À medida que o período de aquecimento avança, o aumento da temperatura atinge um perfil quase uniforme. Especificamente em relação à Figura 4, observa-se a variação interface ao longo do tempo. Assim como observado para a umidade, a temperatura também aumentou

muito mais rapidamente para o modelo com encolhimento em relação ao modelo sem encolhimento.

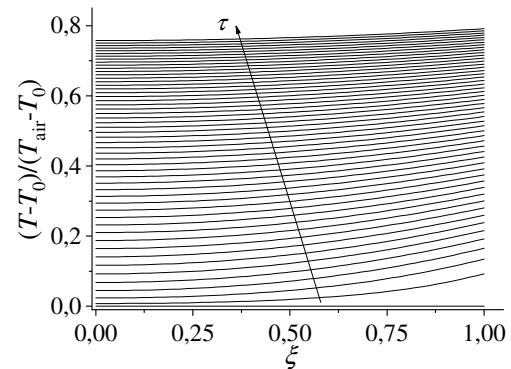


Figura 3: Perfil de temperatura adimensional para o modelo sem encolhimento.

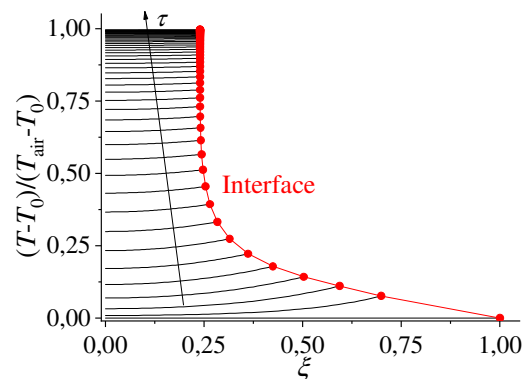


Figura 4: Perfil de temperatura adimensional para o modelo com encolhimento.

A Figura 5 representa um comparativo entre os perfis de umidade e temperatura com e sem o efeito de encolhimento no centro da amostra.

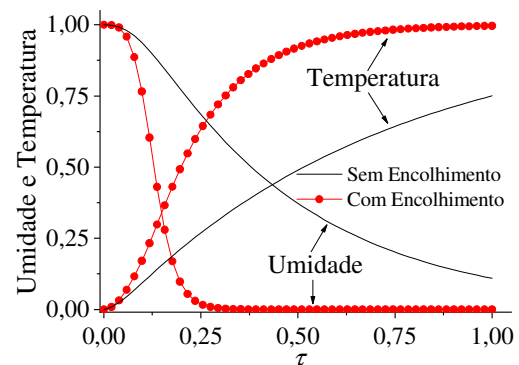


Figura 5: Perfis de umidade e temperatura no centro da amostra com e sem encolhimento.

Nesta figura percebe-se que a temperatura com efeito de encolhimento é

muito mais alta em comparação com o modelo sem efeito de encolhimento. No entanto, o conteúdo de umidade diminuiu mais rapidamente quando o efeito de encolhimento é considerado. Isso se deve à redução do domínio de integração na direção espacial, haja visto que a espessura da amostra diminui devido ao encolhimento, e, portanto, atinge-se a superfície mais rapidamente. Portanto, o modelo com o efeito de encolhimento necessita de um tempo menor para secagem.

Já na Figura 6 é apresentada a localização da interface em função do tempo. O encolhimento da fatia é mostrada pela mudança na espessura do mesmo. O valor final do encolhimento para este modelo pode ser determinado prontamente, pois apenas a massa sólida é deixada no final da secagem, que neste caso é, aproximadamente, 0,24.

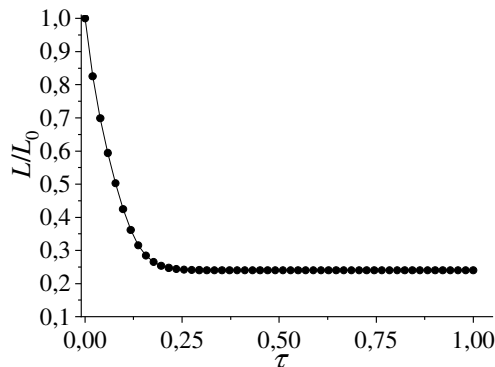


Figura 6: Localização da interface em função do tempo.

Influência do Número de Lewis

Nesta seção é apresentada a análise de sensibilidade no que tange o Le . Para essa finalidade consideram-se os mesmos parâmetros adotados anteriormente, exceto os seguintes valores para o Le ([5 10 50 100]).

Na Figura 7 são apresentados os perfis de temperatura no centro da amostra considerando diferentes valores de Le com encolhimento (C) e sem (S) encolhimento. Nesta observa-se que, independentemente do modelo considerado, o aumento no valor do parâmetro Le implica no incremento do valor de perfil de temperatura no centro da amostra. Isto se deve ao aumento da difusividade térmica (α) ou a diminuição do coeficiente de difusão efetivo (D). Em ambos os casos, o aumento do Le implica no aumento da ponderação do termo difusivo no balanço de

energia, promovendo o aumento da temperatura do processo.

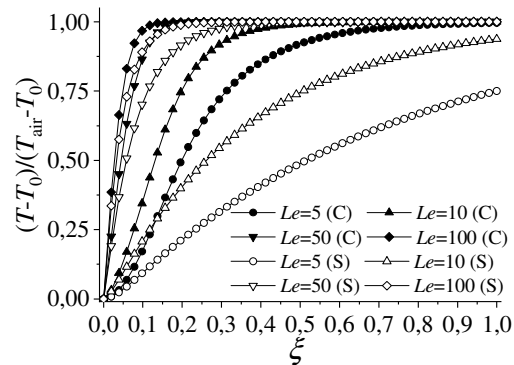


Figura 7: Temperatura no centro da amostra considerando diferentes valores de Le com (C) e sem (S) encolhimento.

Ao se comparar os modelos com (C) e sem (S) encolhimento observa-se que, devido à redução espacial da fatia, as temperaturas no modelo com encolhimento são superiores as obtidas para o modelo sem encolhimento (já que neste caso a espessura da fatia não se altera com o tempo). Finalmente, quanto maior o valor deste parâmetro Le , maior é a temperatura no interior da amostra, sendo que esta se aproxima da temperatura do ar.

Influência do Número de Biot

Para analisar a sensibilidade do parâmetro Bi no perfil de temperatura, os seguintes parâmetros são adotados: $Bi=(0,1 \ 0,5 \ 1 \ 2)$. Os outros parâmetros são os mesmos adotados anteriormente. Na Figura 8 são apresentados os perfis de temperatura na superfície da amostra considerando diferentes valores de Bi com encolhimento (C) e sem (S) encolhimento.

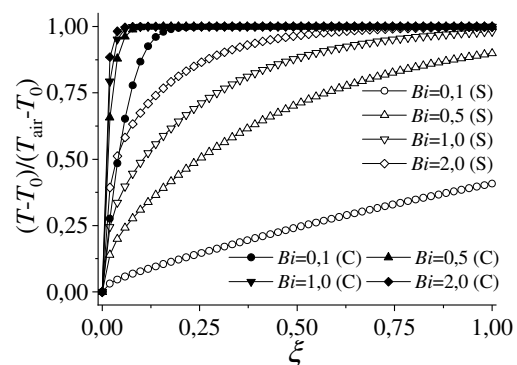


Figura 8: Temperatura no contorno da amostra considerando diferentes valores de Bi com (C) e sem (S) encolhimento.

Nesta figura verifica-se que, assim como na análise do parâmetro Le que, independentemente do modelo considerado, o aumento no valor do parâmetro Bi implica no aumento no valor do perfil de temperatura na superfície da amostra. Neste caso, o aumento no valor do Bi implica no incremento do valor do coeficiente de transferência de calor (h) ou a redução no valor da condutividade térmica (k). Assim, o aumento do Bi implica no incremento do valor da temperatura na superfície da amostra.

Assim como observado na análise anterior, ao se comparar os modelos com (C) e sem (S) encolhimento também verifica-se que, devido à redução espacial da fatia, as temperaturas no modelo com encolhimento são superiores as obtidas para o modelo sem encolhimento.

CONCLUSÕES E TRABALHOS FUTUROS

Neste trabalho foi estudado um modelo de secagem que considera o efeito do encolhimento em uma fatia de tomate ao longo do tempo. Este modelo é composto de balanços de massa, energia e uma equação adicional para caracterizar a evolução da interface ao longo do processo de secagem. Para resolver o sistema de equações foi utilizado o Método das Diferenças Finitas com discretizações em ambas as direções, a saber, no espaço e no tempo. A partir da aplicação desta abordagem foi obtido um sistema algébrico não linear, sendo o mesmo resolvido pelo Método de Newton.

As simulações numéricas demonstram que os perfis obtidos com ambos os modelos (com e sem encolhimento) são concordantes com os esperados fisicamente. A umidade diminui mais rapidamente no modelo que considera o encolhimento, o que implica que o mesmo necessita de um tempo menor para secagem. Já para a temperatura tem-se o contrário, isto é; a mesma aumenta mais rapidamente no modelo com efeito do encolhimento do que no modelo sem o efeito do encolhimento. Em ambos os casos, isto se deve a redução da amostra durante o processo de secagem.

No que se refere a análise dos parâmetros Le e Bi , o aumento de ambos implica no aumento do valor do perfil de temperatura, sendo que este efeito é bem maior para o modelo que considera o efeito do encolhimento.

Como propostas de trabalhos futuros pretende-se: *i*) inserir o efeito de propriedades visco-elásticas no modelo secagem; *ii*) formular e resolver problemas inversos considerando pontos experimentais reais e *iii*) estender o modelo considerado para o contexto tridimensional.

NOMENCLATURA

Bi	Número Biot
D	Coeficiente de difusão efetivo (m^2/s)
h	Coeficiente de transferência de calor ($W/(m^2\text{°C})$)
H_v	Calor de vaporização (kJ/kg)
i	Contador
k	Condutividade térmica ($W/m\text{°C}$)
k_1	Taxa de remoção ($b.u./s\text{°C}$)
k_2	Taxa de remoção adimensional
l	Variável auxiliar espacial
L	Espessura da amostra (m)
L_0	Espessura da amostra (m)
Le	Número de Lewis
M	Umidade local ($b.u.$)
\bar{M}	Umidade adimensional
M_0	Umidade inicial ($b.u.$)
n	Contador
N	Número de pontos de discretização
t	Tempo (s)
T	Temperatura (°C)
\bar{T}	Temperatura adimensional
T_0	Temperatura inicial (°C)
T_{air}	Temperatura do ar (°C)
x	Espaço (m)
X	Espaço adimensional
α	Difusividade térmica (m^2/s)
$\Delta\xi$	Diferença finita no espaço
$\Delta\tau$	Diferença finita no tempo
ξ	Variável auxiliar espacial
ρ	Densidade (Kg/m^3)
λ	Coeficiente de difusão adimensional
τ	Tempo adimensional

REFERÊNCIAS

ADROVER, A., BRASIELLO, A., PONSO, G. (2019), A Moving Boundary Model

- for Food Isothermal Drying and Shrinkage: A Shortcut Numerical Method for Estimating the Shrinkage Factor. *Journal of Food Engineering*, Vol. 244, p.212–219.
- AZHDARI, E., EMAMI, A. (2019), Analytical and Numerical Study of Drying of Tomato in Non-Shrinkage and Shrinkage Model. *Mathematics and Computers in Simulation*, Vol. 166, p.253–265.
- BRASIELLO, A., ADILETTA, G., RUSSO, P., CRESCITELLI, S., ALBANESE, D., DI MATTEO, M. (2013), Mathematical Modeling of Eggplant Drying: Shrinkage Effect. *J. Food Eng.*, Vol. 114 (1), p. 99–105.
- BRASIELLO, A., CRESCITELLI, S., ADILETTA, G., DI MATTEO, M., ALBANESE, D. (2011), Mathematical Model with Shrinkage of an Eggplant Drying Process. *Chemical Engineering Transactions*, Vol. 24, p. 451–456.
- BRASIELLO, A., IANNONE, G., ADILETTA, G., DE PASQUALE, S., RUSSO, P., DI MATTEO, M. (2017), Mathematical Model for Dehydration and Shrinkage: Prediction of Eggplant's MRI Spatial Profiles. *J. Food Eng.*, Vol. 203, p. 1–5.
- CHAPRA, S. C., CANALE, R. P. (2009), *Métodos Numéricos para Engenharia*, McGraw Hill Brasil, 832 páginas.
- CRANK, J. (1984), *Free and Moving Boundary Problem*, New York Clarendon-Oxford Science Publication.
- CURCIO, S., AVERSA, M. (2014), Influence of Shrinkage on Convective Drying of Fresh Vegetables: A Theoretical Model. *J. Food Eng.*, Vol. 123, p. 36–49.
- FORTUNA, A. O. (2000), *Técnicas Computacionais para Dinâmica dos Flúidos*, Vol. 30, EdUSP, 426 páginas.
- ISHIBASHI, R., NUMATA, T., TANIGAWA, H., TSURUTA, T. (2022), In-situ Measurements of Drying and Shrinkage Characteristics During Microwave Vacuum Drying of Radish and Potato. *Journal of Food Engineering*, Vol. 323, p.110988-110997.
- KOC, B., EREN, I., ERTEKIN, F. K. (2008), Modelling Bulk Density, Porosity and Shrinkage of Quince During Drying: the Effect of Drying Method, *J. Food Eng.*, Vol. 85(3), p.340–349.
- RANI, P., TRIPATHY, P. P. (2020), Modelling of Moisture Migration During Convective Drying of Pineapple Slice Considering Non-Isotropic Shrinkage and Variable Transport Properties. *J Food Sci Technol*, Vol. 57(10), p. 3748–3761.
- SEGURA, L. A., BADILLO, G. M., ALVES-FILHO, O. (2014), Microstructural Changes of Apples During Drying: Visual Microstructural Changes and Possible Explanation from Capillary Pressure Data, *Dry. Technol.*, Vol. 32 (14), p.1692–1698.
- SHAHARI, N. A. (2012), *Mathematical Modelling of Drying Food Products: Application to Tropical Fruits* (Ph.D. Thesis), University of Nottingham.
- SHAHARI, N. A., HIBBERD, S. (2013), Analysis of single phase moisture and heat model of food drying. 4th International conference of Mathematical Models in Engineering and Computer science, p. 137-142.
- SILVA, V., COSTA, J. J., FIGUEIREDO, A. R., NUNES, J., NUNES, C., RIBEIRO, T. I. B., PEREIRA, B. (2016), Study of Three-Stage Intermittent Drying of Pears Considering Shrinkage and Variable Diffusion Coefficient, *J. Food Eng.*, Vol. 180, p.77–86.
- TURKAN, B., ETEMOGLU, A. B. (2020), Simulation of Shrinkage Effect in Drying of Food Products in Hot-Air Dryer. *Sigma J Eng & Nat Sci*, Vol. 38(2), p.527-544.